

个案报道

脊柱内镜下手术治疗腰椎黄韧带囊肿 1 例报道

Endoscopic treatment of lumbar ligament flavum cyst: a case report

李德光¹, 李永津², 吴继昆¹, 李 鑫¹, 廖江龙¹, 江 波¹

(1 昆明市中医医院骨科 650000 云南省昆明市; 2 广东省中医院总院骨一科 510030 广州市)

doi:10.3969/j.issn.1004-406X.2020.08.16

中图分类号:R681.5 文献标识码:B 文章编号:1004-406X(2020)-08-0766-03

脊柱黄韧带囊肿 (spinal ligamentum flavum cyst) 是椎管内一种脊柱退变性病变^[1],发病机制尚不明确,可能是黄韧带发生退变从而形成^[2],最早由 Moile 教授在 1976 年报道^[3],多见于下腰段(L4/5、L5/S1)^[4]。黄韧带囊肿多无特征性的临床表现,部分表现为腰骶部疼痛,如出现神经根受压,可引起典型神经根受压症状,表现出与腰椎间盘突出症相似的症状,容易引起误诊^[5]。我科 2019 年 11 月收治 1 例 L3~L5 节段减压融合术后 7 年 L2/3 节段出现黄韧带囊肿及下肢根性症状的病例,行侧路椎间孔镜下囊肿切除手术,疗效满意,现报告如下。

基金项目:昆明市卫生科技人才培养项目暨“十百千”工程培养计划[2020-SW(后备)-77]

第一作者简介:男(1983-),医学硕士,主治医师,研究方向:脊柱微创外科

电话:(0871)67163684 E-mail:289651389@qq.com

通讯作者:江波 E-mail:1438233425@qq.com

患者女性,54岁,退休工人。因“腰痛伴右下肢放射痛9月余,加重5个月”于2019年11月27日收入昆明市中医医院骨科。患者2012年因腰椎间盘突出症行L3/4、L4/5节段椎板减压、后路椎弓根螺钉内固定手术,术后恢复良好,腰腿痛症状消失。9个月前无明显诱因出现右下肢酸痛,休息可缓解,未予处理;5个月前出现腰痛及右下肢麻木疼痛,疼痛以大腿前方为主,呈进行性加重,口服消炎镇痛类药物症状无缓解。入院查体:L2/3椎间隙右侧旁压痛,无叩痛,腰部屈伸旋转活动均明显受限,右大腿下1/3前内侧疼痛、麻木,鞍区感觉正常,右侧髂腰肌肌力4级,肛门括约肌肌力正常,右侧膝腱反射较对侧减弱,右下肢股神经牵拉试验阳性,直腿抬高试验阴性,余未见异常。VAS 评分:腰痛5分,腿痛8分。JOA 评分13分。2019年11月25日腰椎MRI示L2/3水平椎管内右侧见一类圆形异常信号影,大小约1.2×1.0×0.8cm,边界清楚,周围无明显浸润,T1WI呈低信号,T2WI呈较高信号,脂肪抑制像呈高信

- leukocyte-containing and pure platelet-rich plasma on nucleus pulposus-derived mesenchymal stem cells: implications for the clinical treatment of intervertebral disc degeneration[J]. Stem Cells Int, 2018, 2018: 7162084.
29. Gullung GB, Woodall JW, Tucci MA, et al. Platelet-rich plasma effects on degenerative disc disease: analysis of histology and imaging in an animal model [J]. Evid Based Spine Care J, 2011, 2(4): 13–18.
30. 桂柯科, 俞永林, 任伟民, 等. 富血小板血浆(PRP)对兔早期椎间盘退变(IDD)的干预作用[J]. 复旦学报(医学版), 2015, 42(2): 204–211.
31. Wang SZ, Jin JY, Guo YD, et al. Intervertebral disc regeneration using plateletrich plasmacontaining bone marrow-derived mesenchymal stem cells: a preliminary investigation [J]. Mol Med Rep, 2016, 13(4): 3475–3481.
32. Chen WH, Liu HY, Lo WC, et al. Intervertebral disc regeneration in an ex vivo culture system using mesenchymal stem cells and platelet-rich plasma[J]. Biomaterials, 2009, 30(29): 5523–5533.
33. Sawamura K, Ikeda T, Nagae M, et al. Characterization of in vivo effects of platelet-rich plasma and biodegradable gelatin

- hydrogel microspheres on degenerated intervertebral discs [J]. Tissue Eng Part A, 2009, 15(12): 3719–3727.
34. Cheng J, Santiago KA, Nguyen JT, et al. Treatment of symptomatic degenerative intervertebral discs with autologous platelet-rich plasma: follow-up at 5–9 years[J]. Regen Med, 2019, 14(9): 831–840.
35. Levi D, Horn S, Tyskzo S, et al. Intradiscal platelet-rich plasma injection for chronic discogenic low back pain: preliminary results from a prospective trial [J]. Pain Med, 2016, 17(6): 1010–1022.
36. Akeda K, Ohishi K, Masuda K, et al. Intradiscal injection of autologous platelet-rich plasma releasate to treat discogenic low back pain: a preliminary clinical trial[J]. Asian Spine J, 2017, 11(3): 380–389.
37. Beatty NR, Lutz C, Boachie-Adjei K, et al. Spondylodiscitis due to cutibacterium acnes following lumbosacral intradiscal biologic therapy: a case report[J]. Regen Med, 2019, 14(9): 823–829.

(收稿日期:2020-03-03 末次修回日期:2020-06-11)

(本文编辑 彭向峰)

号, 中央偏左侧椎间盘突出(图 1a~c), 入院诊断:L2/3 水平椎管内占位性病变, 腰椎术后。

2019 年 11 月 28 日行侧路椎间孔镜下囊肿切除手术。患者取俯卧位, 局麻下行 L2/3 节段侧路内镜下手术, 穿刺后置管(图 2a、b), 此时工作通道位置偏前, 采用镜下可视化环锯技术, 行背侧骨质清理, 打开黄韧带, 看到黄韧带内有类圆形肿物形成(图 3), 黄韧带呈瘢痕样硬化改变, 肿物连同黄韧带压迫 L3 走行神经根, 将肿物彻底切

除, 术中可见肿物内有淡黄色半透明胶冻样物随水流流出, 黄韧带与神经根粘连严重, 松解后直视下见神经根松弛, 搏动良好后结束手术(图 4a、b)。手术切口 0.8cm, 术中出血量约 20ml, 手术时间 65min。术后患者腰痛明显缓解, 右下肢麻木、疼痛消失, 术后 6h 下地行走无不适, 次日佩戴腰围出院, 共随访 4 个月, 患者腰痛、腿痛症状消失, 无复发。取出组织行病理检查结果证实为黄韧带囊肿(图 5a、b)。

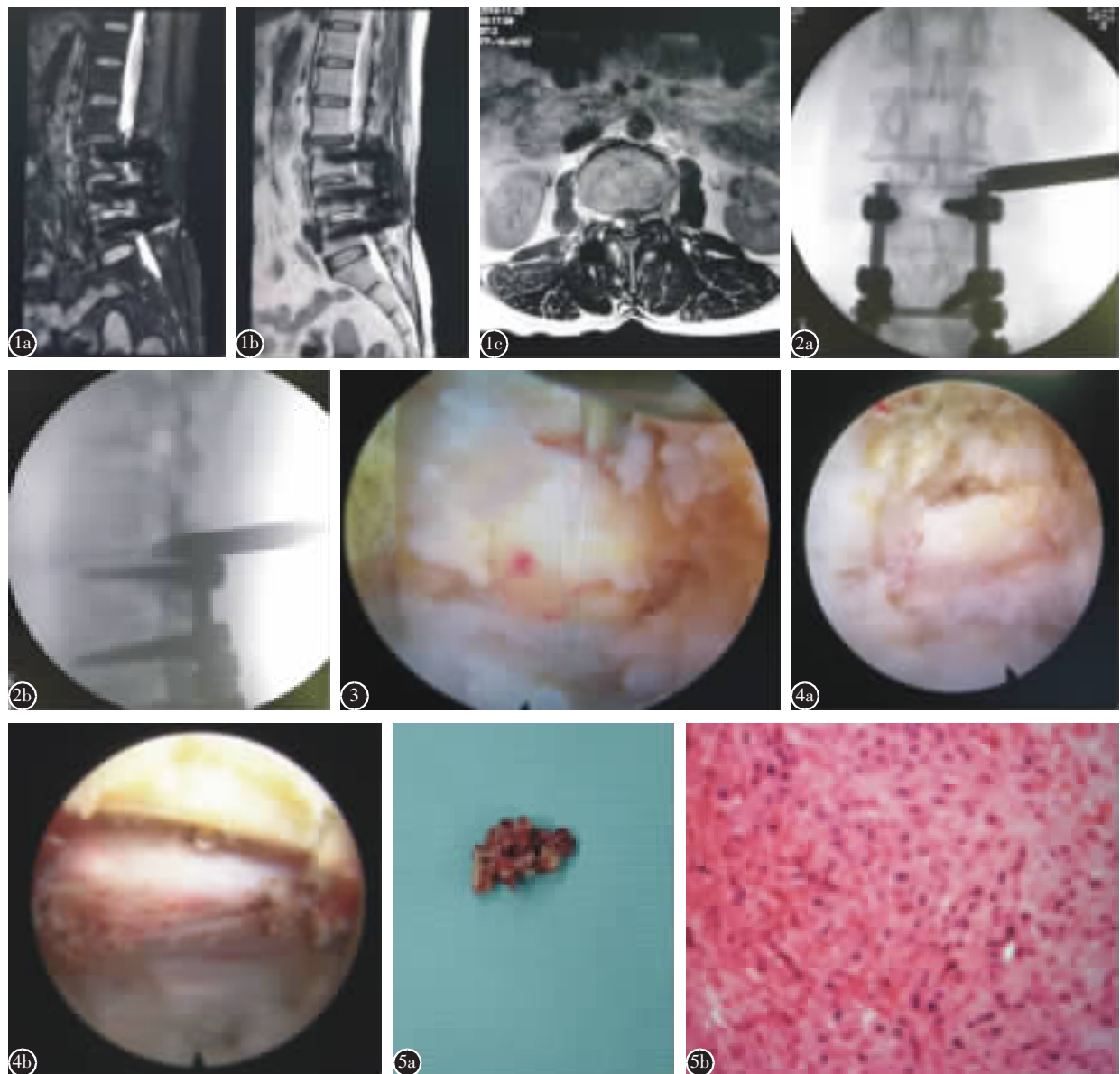


图 1 a~c 2019 年 11 月 25 日腰椎 MRI 矢状位及横断位示 L2/3 水平椎管内右侧见一类圆形信号影, 大小约 $1.2 \times 1.0 \times 0.8\text{cm}$, 边界清楚, 周围无明显浸润, T2W1 呈较高信号, 抑脂像呈高信号 **图 2** 2019 年 11 月 28 日在局麻下行侧路椎间孔镜下手术, 术中置管 **图 3** 黄韧带内类圆形肿物形成 **图 4 a, b** 黄韧带与神经根粘连严重, 松解后神经根松弛 **图 5 a** 术中取出致密纤维结缔组织, 少量淡黄色略粘稠物 **b** 术后病理检查结果为结缔组织囊壁样改变, 无上皮细胞组织(HE 染色, $\times 200$)

Figure 1 a~c Lumbar MRI showed: a round signal shadow on the right side of the spinal canal, the size is about $1.2 \times 1.0 \times 0.8\text{cm}$, the boundary is clear **Figure 2** Placement of surgical working channel **Figure 3** Ligamentum flavum cyst **Figure 4 a, b** The ligamentum flavum and nerve root are adhesioned, and the nerve root relaxes after loosening **Figure 5 a** The cyst removed from the spinal canal **b** It's pathology result revealed a ligamentum flavum cyst

讨论 腰椎黄韧带囊肿在临床较为少见。好发于中老年人, 颈椎、胸椎及腰椎皆可发生, 但以下腰椎最为常见, 其中又以 L4/5 节段最为常见, 因为在 L5/S1 节段“坐”在骨盆中相对稳定的前提下, L4/5 节段是所有腰椎中活动度最大的^[1]。虽然腰椎黄韧带囊肿目前发病机制仍未明确, 但许多学者认为, 慢性创伤引起的压力增加, 导致了黄韧带增生、黏液样变性、坏死、钙化和纤维化等改变。由于Ⅱ型胶原沉积和黄韧带弹性纤维的丢失等因素的影响, 进一步影响脊柱稳定, 导致囊肿的形成, 转变为更加严重的退变^[7]。本例患者发病节段位于 L2/3, 与患者曾行 L3~L5 节段减压、固定手术有关, 术后 L2/3 节段应力集中、退变加速, 导致黄韧带囊肿形成。腰椎黄韧带囊肿无临床特异性表现, 临床表现主要取决于囊肿的位置、大小以及生长的速度^[8], 大多缓慢起病, 多行 MRI 检查发现, 少数病例也可因囊肿内出血急性起病^[9]。

腰椎黄韧带囊肿因其临床少见及影像学特点, 易造成误诊, MRI 检查尤为重要^[10]。应仔细查体, 同腰椎间盘突出症、腰椎管狭窄症、术后邻椎病等常见病鉴别。还需要与腰椎小关节滑膜囊肿、腱鞘囊肿、椎管内肿瘤相鉴别。滑膜囊肿、腱鞘囊肿均起源于关节突关节^[11], 但病理上有差别; 黄韧带囊肿起源于黄韧带, 囊肿多位于黄韧带内, 较独立, 与小关节无关联; 椎管内肿瘤最常见的是神经鞘瘤, 其在 MRI T2WI、脂肪抑制象上呈现稍低信号, 增强扫描有强化表现。

治疗上, 无症状或症状轻微时可行保守治疗。有典型临床症状且诊断明确, 手术切除是第一选择^[1], 手术的最终目的是彻底减压受压的神经根。查阅国内文献, 2000 年至今, 共有 8 篇文献论述黄韧带囊肿, 均为个案报道, 其中 3 例采用全麻下后路椎板开窗减压术, 4 例采用全麻下后路椎板切除减压、椎间植骨融合、椎弓根螺钉内固定术, 均病理检查证实为黄韧带囊肿, 取得了良好疗效, 短期随访无复发^[5,9,11~16]。另外 1 例为腰椎椎间盘突出节段相邻节段黄韧带囊肿, 采用经皮内镜下处理, 术者描述镜下见到胶冻粘液样物质, 但术中未能取到组织, 无病理学支持^[13]。因为腰椎黄韧带囊肿临床少见, 目前国内学者对其手术方式尚无统一认识, 综合文献后分为后路减压融合固定及后路单纯开窗减压两种, 两种手术方式区别在于是否加用内固定, 无论内固定与否, 开放手术都避免不了较大的创伤, 虽然可以较为彻底地切除囊肿, 但后期瘢痕粘连往往难以避免, 甚至因瘢痕引起症状残留, 手术费用、术中出血、恢复时间也不容忽视。

采用经皮脊柱内镜下手术治疗腰椎黄韧带囊肿, 有如下三个要点:(1)精准的定位及影像学转换, 需要靶向定位与穿刺, 设计出穿刺路线, 不能偏离, 也不能在关节突成型过程中将黄韧带磨除;(2)通道及操作器械的限制, 在内镜下黄韧带囊肿难以完整切除, 需剪成碎片取出, 因为镜下水介质的存在, 囊肿破溃后内部物质随水流出, 因此剪破囊肿时应提前在出水口下方放置无菌纱布, 过滤水, 留

下冲出的囊肿组织, 以便留病理学检查;(3)彻底检查神经根减压是否彻底。

总之, 采用经皮内镜下手术治疗腰椎黄韧带囊肿, 创伤小, 出血少, 对脊柱稳定性几乎不构成影响, 局麻手术, 在认真设计、仔细操作的前提下, 可以达到彻底减压, 获得同开放手术一样的效果, 为腰椎黄韧带囊肿手术治疗提供了一种新的思路和方法。

参考文献

- Taha H, Bareksei Y, Albanna W, et al. Ligamentum flavum cyst in the lumbar spine: a case report and review of the literature[J]. J Orthop Traumatol, 2010, 11(2): 117~122.
- Chan AP, Wong TC, Sieh KM, et al. Rare ligamentum flavum cyst causing incapacitating lumbar spinal stenosis: experience with 3 Chinese patients[J]. J Orthop Surg Res, 2010, 5: 81.
- Moiel RH, Ehni G, Anderson MS. Nodule of the ligamentum flavum as a cause of nerve root compression[J]. Case Report J Neurosurg, 1967, 27: 456~458.
- Terada H, Yokoyama Y, Kamata N, et al. Cyst of the ligamentum flavum[J]. Neuroradiology, 2001, 43(1): 49~51.
- 袁凯, 温广伟, 许岳荣, 等. 腰椎黄韧带囊肿一例报告[J]. 中国矫形外科杂志, 2019, 27(11): 1054~1056.
- Brotis AG, Kapsalaki EZ, Papadopoulos EK, et al. A cervical ligamentum flavum cyst in an 82-year-old woman presenting with spinal cord compression: a case report and review of the literature[J]. J Med Case Rep, 2012, 6(10): 92.
- Shah K, Segui D, Gonzalez-Arias S. Midline ligamentum flavum cyst of lumbar spine[J]. World Neurosurg, 2018, 110: 284~287.
- Sabo RA, Tracy PT, Weinger JM. A series of 60 juxtafacet cysts: clinical presentation, the role of spinal instability, and treatment[J]. J Neurosurg, 1996, 85(4): 560~565.
- 罗天宝, 吴浩, 杜建新, 等. 腰椎黄韧带囊肿 1 例报告[J]. 中国脊柱脊髓杂志, 2009, 19(7): 525, 539.
- Nizamani WM. Ligamentum flavum cyst: an uncommon but recognizable and surgically correctable category of juxtafacet cyst[J]. Radiol Case Rep, 2017, 13(1): 302~304.
- 钟奕滔, 罗鸣, 孙志坚, 等. 脊柱黄韧带囊肿 1 例报道[J]. 中国骨与关节外科, 2014, 7(6): 527~528.
- 于江涛, 陶志强, 范少勇. 内镜下治疗腰椎间盘脱出合并邻近节段黄韧带囊肿 1 例[J]. 中国矫形外科杂志, 2019, 27(19): 1823~1824.
- 肖武, 赵刘军, 顾勇杰, 等. 黄韧带囊肿腰椎间盘镜下切除 1 例报告[J]. 中华骨科杂志, 2018, 38(23): 1466~1468.
- 王拴池, 王芳芳. 腰椎管狭窄症合并黄韧带囊肿 1 例报道[J]. 中国骨伤, 2017, 30(5): 479~480.
- 陈军津. 黄韧带囊肿——1 例报告[D]. 杭州: 浙江大学, 2011.
- 方向前, 范顺武, 王进, 等. 黄韧带囊肿 1 例报告[J]. 中华骨科杂志, 2001, 21(9): 576.

(收稿日期:2020-04-06 修回日期:2020-06-14)

(本文编辑 李伟霞)